



## بورسی اثر موقعیت آبشکن و دیوار جداکننده بر انحراف جریان و رسوب به آبگیرهای جانبی

امیر موادی نژاد، امیر حمزه حقی‌آبی<sup>\*</sup>، مجتبی صانعی و حجت‌الله یونسی<sup>\*\*</sup>

\* نگارنده مسئول: گروه سازه‌های آبی، دانشکده کشاورزی، دانشگاه لرستان، لرستان. تلفن: ۰۶۶(۳۳۴۰۰۱۹۱)، پیام‌نگار: haghiabi.a@lu.ac.ir

<sup>\*\*</sup> بهترین: دانشجوی دکتری؛ و استاد گروه سازه‌های آبی، دانشکده کشاورزی دانشگاه لرستان؛ دانشیار پژوهشکده حفاظت خاک و آبخیزداری، سازمان تحقیقات، آموزش و ترویج کشاورزی؛ و استادیار گروه سازه‌های آبی، دانشکده کشاورزی دانشگاه لرستان

تاریخ دریافت: ۹۵/۲/۵؛ تاریخ پذیرش: ۹۵/۸/۲۰

### چکیده

یکی از مشکلاتی که در اکثر آبگیرها به وجود می‌آید، ورود و تجمع رسوب به دهانه آبگیر و کاهش راندمان آبگیری است. کنترل رسوب در آبگیرها از مسائل پیچیده مهندسی رودخانه است. برای کاهش رسوب ورودی به دهانه آبگیر می‌توان از مجموعه روش‌های کنترل کننده ورود رسوب به آبگیر و نیز از تخلیه کننده ورود رسوب از دهانه آبگیر استفاده کرد. در این تحقیق تأثیر زاویه و فاصله آبشکن از دهانه آبگیر هموار با دیوار جداکننده بر کنترل رسوب و راندمان آبگیری به صورت آزمایشگاهی بررسی شد. تأثیر چهار زاویه ۳۰، ۴۵، ۶۰ و ۹۰ درجه و چهار فاصله آبشکن از مرکز آبگیر ۳b، ۲b و ۲/۵b در ساحل مقابله آبگیر بررسی شده است (b عرض کanal آبگیر است). نتایج این بررسی نشان می‌دهد که آبشکن با زاویه ۶۰ درجه و در فاصله ۲b از مرکز دهانه آبگیر نسبت به زاویه‌های ۳۰، ۴۵ و ۹۰ درجه، بهترین ۱۴، ۲۷ و ۱۲ درصد عملکرد بیشتری در کاهش رسوب و ۵۳، ۴۵ و ۱۶ درصد افزایش دبی انحرافی به آبگیر داشته است. همچنین، با افزایش پارامتر  $\frac{u}{u_c}$  نسبت فاصله آبشکن به عرض آبگیر، نسبت دبی انحرافی به آبگیر برای زاویه‌های ۳۰، ۴۵، ۶۰ و ۹۰ درجه و ۰/۵ به ترتیب  $1/11 = \frac{\bar{u}}{u_c}$ ،  $1/10/8 = \frac{\bar{u}}{u_c}$ ،  $1/13 = \frac{\bar{u}}{u_c}$  و  $1/23 = \frac{\bar{u}}{u_c}$  به ترتیب ۱۷، ۲۴، ۱۷ و ۱۰ درصد افزایش می‌یابد.

### واژه‌های کلیدی

آبشکن، آبگیر، راندمان آبگیری، کنترل رسوب

شندن آنها در قسمت‌های مختلف به وجود می‌آورد.

سازه‌های مختلفی مانند صفحات مستغرق، آستانه، آبشکن، ترکیب آنها و دیوار جداکننده<sup>۱</sup> برای کنترل رسوب در آبگیرها به کار رفته است. تاکنون تحقیقات زیادی روی صفحات مستغرق، آستانه، آبشکن و ترکیب آنها با یکدیگر شده است. پیچیدگی انتقال جریان و رسوب در محدوده

### مقدمه

انحراف آب با استفاده از آبگیر جانبی همواره مشکل ورود رسوب به کanal‌ها و سیستم‌های انتقال آب را به دنبال دارد. کنترل نشدن رسوبات ورودی به آبگیرها موجب انتقال آن به داخل کanal‌های آبیاری و تأسیسات می‌شود و مشکلات زیادی را در نتیجه حمل رسوبات و یا تنهشین

عرض ناحیه جدایی جریان در کanal آبگیر با افزایش نسبت انحراف جریان کاهش می‌یابد. همچنین وسعت ناحیه جدایی در کanal آبگیر در کف کمتر از وسعت ناحیه جدایی در سطح است. گوهری و همکاران (Ghohari *et al.*, 2009) به کنترل رسوب در آبگیر با کاربرد صفحات مستغرق و آبشکن پرداختند و به این نتیجه رسیدند که کارآیی صفحات با احداث آبشکن در ضلع مقابل آبگیر افزایش و مقدار ورود رسوب به آبگیر کاهش می‌یابد. ایشان همچنین نشان دادند که با تغییر فاصله آبشکن به اندازه دو برابر عرض دهانه آبگیر به بالادست کanal اصلی مقدار ورود رسوبات به آبگیر به طور متوسط ۴۰ درصد کاهش می‌یابد. علاوه بر آن میزان ورود رسوب به آبگیر با استفاده از آبشکن با زاویه ۹۰ درجه، نسبت به دو آبشکن با زاویه‌های ۴۵ و ۱۳۵ درجه، به حداقل می‌رسد. سالمانیا و شفاعی بجستانی (Salemnia & Shafeai-Bajestan, 2011) اثر تغییر نسبت آبگیری بر میزان رسوب بستر ورودی به آبگیر در کanal ذوزنقه‌ای ( $z=1/5$ ) با زاویه آبگیری ۶۰ درجه نسبت به جهت جریان را با و بدون نصب صفحات مستغرق بررسی کردند. نتایج بررسی‌های این محققان نشان داد که با افزایش نسبت آبگیری از  $7/5$  به ۱۶ درصد، میزان رسوب ورودی به آبگیر در هر دو حالت با و بدون صفحات مستغرق به طور متوسط به میزان ۲۳ درصد افزایش می‌یابد. عطارزاده و همکاران (Atarzadeh *et al.*, 2014) به بررسی آزمایشگاهی تأثیر آستانه، آبشکن و صفحات مستغرق بر کنترل رسوب و توبوگرافی بستر در نسبت دبی آبگیری  $0/12$ ،  $0/15$  و  $0/18$  در آبگیرهای جانبی پرداختند و به این نتیجه رسیدند که در کنترل رسوب، تأثیر آبشکن بیش از سایر گزینه‌ها است. در حالت استفاده از ترکیب آبشکن و آستانه، در مقایسه با آستانه به تنها، نسبت رسوب انحرافی به آبگیر بیش از ۹۰ درصد کاهش می‌یابد. جعفری میانائی و ایوب‌زاده (Jafari-Mianaei &

دهانه آبگیر، سبب شده که تحقیق در این زمینه همچنان ادامه یابد. ناکاتو و همکاران (Nakato *et al.*, 1990) برای کنترل رسوب در آبگیر ایستگاه پمپاژ واحد ۳ نیروگاه کانسیل بلافس در رودخانه میسوری از صفحات مستغرق استفاده کردند و به این نتیجه رسیدند که  $3/5$  سال پس از نصب صفحات مستغرق، مشکل رسوب‌گذاری آن برطرف شده است.

ادگارد و وانگ (Odgaard & Wang, 1991) نشان دادند که آبشکن‌های متمایل به بالادست، معمولاً موجب انحنای بیشتری در جریان اصلی می‌شوند. نیری و همکاران (Neary *et al.*, 1999) مدل عددی سه‌بعدی جریان روی انشعابی ۹۰ درجه در کanalی با مقطع مستطیلی را توسعه دادند و با نتایج آزمایشگاهی صحت‌یابی کردند. بر اساس یافته‌های این محققان، با افزایش نسبت انحراف جریان، عرض ناحیه گردابی کم و بر طول آن افزوده می‌شود. علاوه بر آن، برای نسبت دبی  $0/64$  علاوه بر گردابه داخل آبگیر، ناحیه چرخشی دیگری در داخل کanal اصلی و در مقابل دهانه آبگیر تشکیل می‌شود. بارکدول و همکاران (Barkdoll *et al.*, 1999) در تحقیقات خود نشان دادند که شدت رسوبات ورودی بستر به داخل آبگیر پس از نصب صفحات مستغرق زمانی می‌تواند ناچیز باشد که نسبت دبی واحد عرض آبگیر به دبی واحد عرض کanal اصلی (qr) کمتر از حدود  $0/2$  باشد. آنها پس از بررسی آزمایشگاهی، برای افزایش دبی واحد عرض کanal اصلی و حفظ کارایی صفحات مستغرق، دو راه حل پیشنهاد دادند: دیواره جانی در کنار صفحات مستغرق و عریض کردن ورودی آبگیر. ساجدی‌سابق و حبیبی (Sajedi-Sabegh & Habibi, 2003) تأثیر کاربرد توام صفحات مستغرق و مجموعه آبشکن‌ها را در افزایش راندمان آبگیری بررسی کرده و نشان دادند که با کاربرد توام صفحات مستغرق و مجموعه آبشکن‌ها ورود رسوبات به آبگیر کاهش می‌یابد. رامامورتی و همکاران

صفحات مستغرق مرتبط بوده است و به سخنی دیگر، تحقیق در خصوص استفاده از ترکیب آبشکن و دیوار جداکننده چندان زیاد به چشم نمی‌خورد. از این‌رو در این تحقیق تأثیر فاصله آبشکن از خط مرکزی آبگیر و زاویه آن در ترکیب با دیوار جداکننده روی راندمان آبگیری و کنترل رسوب در آبگیر جانی با زاویه ۶۰ درجه بررسی شده است.

## مواد و روش‌ها

### تحلیل ابعادی

پارامترهای زیادی در جریان ورودی به آبگیر مؤثرند، این پارامترها عبارت‌اند از دبی جریان در کanal اصلی ( $Q_m$ )، دبی جریان در کanal آبگیر ( $Q_l$ )، دبی رسوب در کanal اصلی ( $Q_{sm}$ )، دبی رسوب در کanal آبگیر ( $Q_{sl}$ )، عمق جریان در کanal اصلی (d)، سرعت جریان در کanal اصلی ( $V_m$ )، عرض کanal اصلی ( $B_m$ )، عرض کanal آبگیر (b)، شیب کanal اصلی ( $S_m$ )، شیب کanal فرعی ( $S_L$ )، شتاب ثقل (g)، زاویه دانسیته جریان ( $\rho$ )، لزوجت سینماتیکی سیال (v)، زاویه کanal آبگیر با کanal اصلی ( $\delta$ )، زاویه آبشکن با ساحل کanal اصلی ( $\alpha$ )، طول آبشکن ( $L_D$ )، فاصله آبشکن از خط مرکزی کanal آبگیر (L)، زاویه سازه دیوار جداکننده با ساحل ( $\beta_1$ )، زاویه بین دو ضلع سازه دیوار جداکننده ( $\beta_2$ )، ارتفاع صفحات دیوار جداکننده (H)، طول شاخه ابتدایی دیوار جداکننده ( $L_1$ )، طول شاخه دوم دیوار جداکننده ( $L_2$ )، زمان آزمایش (t)، قطر متوسط رسوبات ( $d_{50}$ )، دانسیته رسوبات ( $\rho_s$ ) و ارتفاع زبری رسوبات بستر ( $K_s$ ). تعداد بیست و شش پارامتر دخیل در مسأله به صورت رابطه ۱ درآمده است.

$$F(Q_L, Q_m, Q_{sL}, Q_{sm}, b, L, H, d, B_m, V_m, L_1, L_2, L_D, S_L, S_m, K_s, d_{50}, \rho_s, \rho, \beta_1, \beta_2, \alpha, \delta, t, v, g) = 0 \quad (1)$$

Ayyoubzadeh, 2014) با مطالعه آزمایشگاهی اثر شیب (z=۱/۵) دیواره کanal اصلی بر میزان رسوب ورودی به آبگیر جانبی با و بدون نصب صفحات مستغرق به این نتیجه رسیدند که استفاده از صفحات مستغرق در دو حالت دیواره قائم و دیواره شیبدار کanal اصلی، میزان رسوب ورودی به آبگیر را کاهش می‌دهد. اما این میزان کاهش در حالت دیواره شیبدار و به‌ویژه در نسبت‌های آبگیری کم، در مقایسه با حالت دیواره قائم، به مراتب بیشتر است به‌طوری‌که در حالت دیواره شیبدار با نصب صفحات مستغرق و در نسبت دبی انحرافی ۱۲ درصد، میزان رسوب ورودی به کanal آبگیر تا ۱۰۰ درصد کاهش می‌یابد. Ardeshiri و همکاران (Ardeshiri et al., 2014) در تحقیق خود به تأثیر طول و موقعیت آبشکن بر میزان آبگیری با استفاده از آبشکن نفوذپذیر در آبگیر جانبی پرداختند. نتایج بررسی‌های این محققان حاکی از آن است که آبگیری با نسبت دبی‌های ۵ و ۱۱ درصد و افزایش طول آبشکن باعث افزایش درصد آبگیری می‌شود و در آبگیری ۵ و ۱۱ درصد درصد آبگیری به سمت پایین دهانه آبگیر باعث افزایش افزایش فاصله به سمت پایین دهانه آبگیر باعث افزایش ۲۰ درصد آبگیری خواهد شد. عباسی و ملک‌نژاد یزدی (Abbasi & Maleknejad-Yazdi, 2015) در تحقیق خود به این نتیجه رسیدند که به کارگیری توام آستانه و صفحات مستغرق باعث کاهش مقدار رسوب ورودی به آبگیر می‌شود و در محدوده آزمایش‌ها به‌طور متوسط ۷۲ درصد، نسبت به حالتی که آستانه به تنها‌ی وجود دارد و ۴۵ درصد، نسبت به حالتی که صفحات مستغرق به تنها‌ی وجود دارند، می‌توان مقدار رسوبات ورودی به آبگیر را کاهش داد. سوابق تحقیق نشان می‌دهد که تا کنون بخش عمده مطالعات گذشته در بازه کنترل رسوب ورودی به دهانه آبگیر، به استفاده از ابعاد مختلف صفحات مستغرق، آستانه، آبشکن و ترکیب آبشکن با آستانه و

اصلی انجام شده است. کanal اصلی دارای شیب ۰/۰۰۲، آبگیر افقی و تراز آن هم‌سطح با بستر رسوی کanal اصلی بوده است. آبگیر در فاصله ۹ متری از بالادست و در فاصله ۳ متری از دریچه تنظیم سطح آب انتهای فلوم واقع است. سازه دیوار جداکننده از دو شاخه تشکیل شده و نسبت طول شاخه‌ها بر اساس تحقیقات بارکدول و همکاران (Barkdoll *et al.*, 1999) در  $\frac{L_2}{L_1} = 1/5$  نظر گرفته شده است. شاخه ابتدایی به طول ۷۵ و ارتفاع ۲۴ سانتی‌متر است که یک سمت آن با زاویه ۱۰ درجه به ساحل سمت آبگیر و سمت دیگر آن به شاخه دوم وصل می‌شود. شاخه دوم موازی ساحل با طول ۱۱۲ و ارتفاع ۲۴ سانتی‌متر در جهت جریان ادامه دارد.

**بر اساس تحقیقات بارکدول و همکاران (Barkdoll *et al.*, 1999)** زاویه بین این دو شاخه ۱۷۰ درجه است (شکل ۱). همچنین مقدار ارتفاع خارج از بستر دیوار جداکننده یک سوم عمق جریان در نظر گرفته شد. طول آبشکن به کار رفته  $0.25B_m$ ، فاصله‌های آبشکن از مقابله خط مرکزی آبگیر  $3b$ ،  $2/5b$ ،  $2b$  و زوایای آن با جهت جریان  $30^\circ$ ،  $45^\circ$ ،  $60^\circ$  و  $90^\circ$  درجه است. برای اندازه‌گیری جریان در کanal‌های اصلی و آبگیر، از سریزهای لبه‌تیز مستطیلی و مثلثی و برای اندازه‌گیری نیمرخ سطح آب از ارتفاع سنج<sup>۱</sup> و بسترنگار<sup>۲</sup> با دقت  $\pm 0.1\%$  میلی‌متر استفاده شد. شکل ۲ نمایی از فلوم به کار برده شده در آزمایش‌ها، موقعیت دیوار جداکننده و آبشکن را نشان می‌دهد. جدول ۱ مقادیر تغییرات پارامترها را نشان می‌دهد.

در این آزمایش‌ها از ماسه به قطر متوسط یک میلی‌متر، جرم مخصوص  $2/65$  گرم بر سانتی‌متر مکعب، انحراف معیار  $1/47$  و ضریب یکنواختی  $2/2$  استفاده شد. شکل ۳ نمودار دانه‌بندی مصالح بستر مورد استفاده را نشان می‌دهد.

با استفاده از تحلیل ابعادی و روش باکینگهام نسبت‌های بدون بعد تعیین شد و رابطه ۱ به صورت رابطه ۲ درآمده است.

$$F\left(\frac{V_m}{\sqrt{gd}}, \frac{Q_L}{\sqrt{gd^5}}, \frac{Q_m}{\sqrt{gd^5}}, \frac{Q_{SL}}{\sqrt{gd^5}}, \frac{Q_{sm}}{\sqrt{gd^5}}, \frac{k_s}{d}, \frac{B_m}{d}, \frac{d_{50}}{d}, \frac{\rho_s}{\rho}, \frac{v}{d\sqrt{gd}}, t\sqrt{\frac{g}{d}}, \frac{b}{d}, \frac{L}{d}, \frac{L_1}{d}, \frac{L_2}{d}, \frac{L_D}{d}, \frac{H}{d}, \beta, \beta_2, \alpha, \delta, S_L, S_m\right) = 0 \quad (2)$$

با اجرای عملیات جبری روی نسبت‌های بدون بعد رابطه ۲، نسبت‌های بدون بعد تغییر کرد که با توجه به ثابت بودن  $L_I$ ،  $L_D$ ،  $K_S$ ،  $S_L$ ،  $S_m$  و  $\varphi$ ،  $\varphi_s$ ،  $d_{50}$ ،  $B_m$ ،  $\delta$ ،  $\beta_2$  و  $\beta_1$ ،  $L_2$  و حذف نسبت‌های ثابت، رابطه بدون بعد نهایی به صورت رابطه ۳ قابل ارائه است.

$$G_r = f(Fr, Q_r, \frac{L}{b}, \frac{H}{b}, \alpha) \quad (3)$$

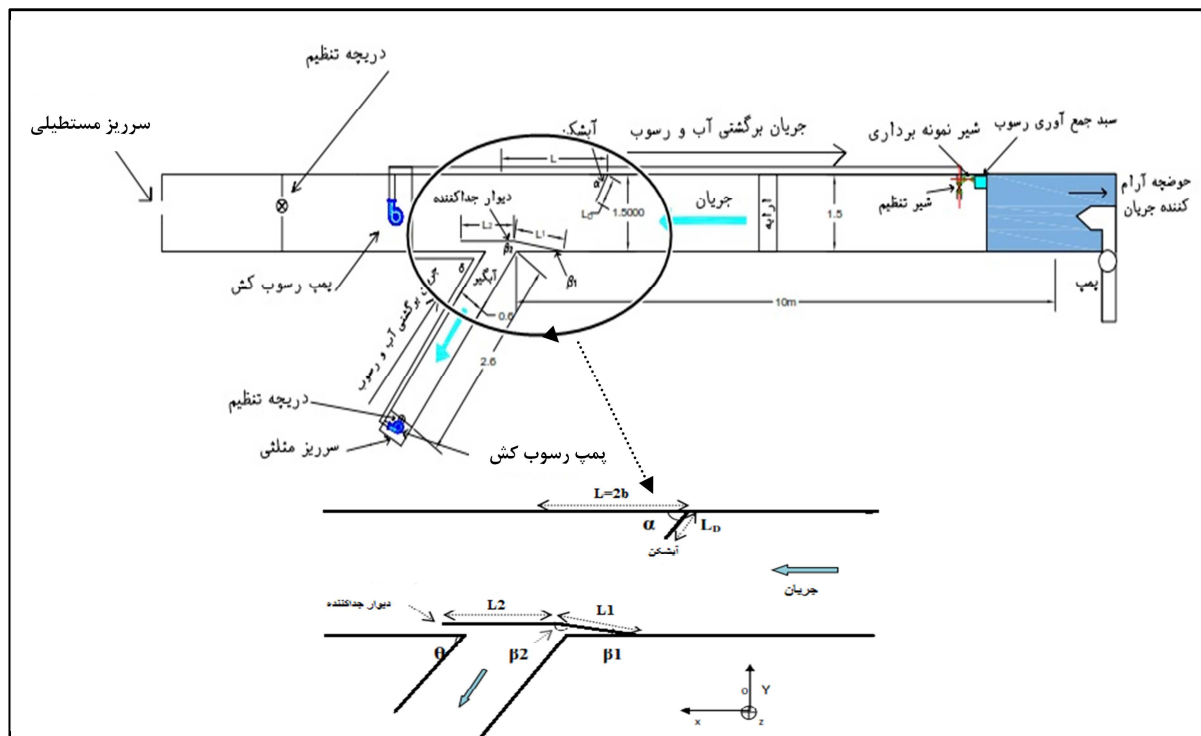
که در آن،

$$G_r = \frac{Q_{sl}}{Q_{sm}} \quad \text{نسبت دبی رسوی ورودی به کanal آبگیر به دبی رسوی بالادست کanal اصلی؛} \\ Q_r = \frac{Q_L}{Q_m} \quad \text{نسبت دبی کanal آبگیر به دبی کanal اصلی (نسبت آبگیری)} \\ Fr = \frac{L}{b} \quad \text{عدد فرود جریان بالادست آبگیر؛} \\ \alpha = \frac{H}{b} \quad \text{نسبت ارتفاع خارج از بستر دیوار کanal اصلی و} \\ \text{جداکننده به عرض آبگیر در کanal اصلی.}$$

### تجهیزات آزمایشگاهی و روش اجرای آزمایش‌ها

آزمایش‌ها در پژوهشکده تحقیقات حفاظت خاک و آبخیزداری در فلومی به طول ۱۲ متر و عرض  $1/5$  و ارتفاع  $0.9$  متر و دارای سیستم گردش آب و رسوی اجرا شد. آبگیری توسط کanal جانبی به عرض  $0.6$  متر و طول  $2/5$  و با زوایه  $60^\circ$  درجه نسبت به جهت جریان در کanal

بررسی اثر موقعیت آبشکن و دیوار جداکننده...



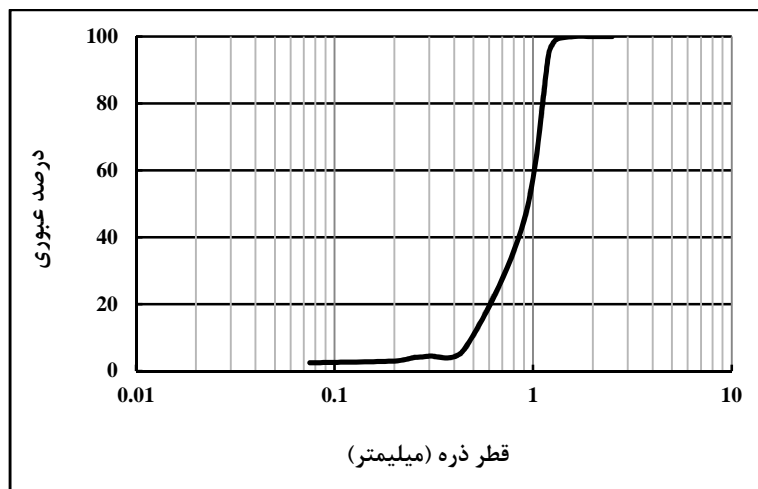
شکل ۱- نمای کلی فلوم، آبشکن، دیوار جداکننده و سیستم چرخش آب و رسوب



شکل ۲- نمای فلوم، آبشکن، دیوار جداکننده جلو دهانه آبغیر

جدول ۱- محدوده تغییرات پارامترها در آزمایش‌ها

پارامترها	دبي کanal	عمق کanal	دبي کanal	نحوه آبشکن	نسبت رسوب انحرافی	نسبت دبي انحرافی	عدد فرود اصلی	دبي آبگیر	دبي اصلی (لیتر بر ثانیه)	محدوده تغییرات
	۶۰-۵۰-۴۰	۱۰/۵-۵/۶	۰/۱۱-۰/۰۸	۰/۴۷۳-۰/۴۱۴	۰/۱۲۵-۰/۰۵۴	۰/۱۳۱۵-۰/۰۴۲	۹۰-۶۰-۴۵-۳۰			



شکل ۳- نمودار دانه‌بندی مواد رسوبی

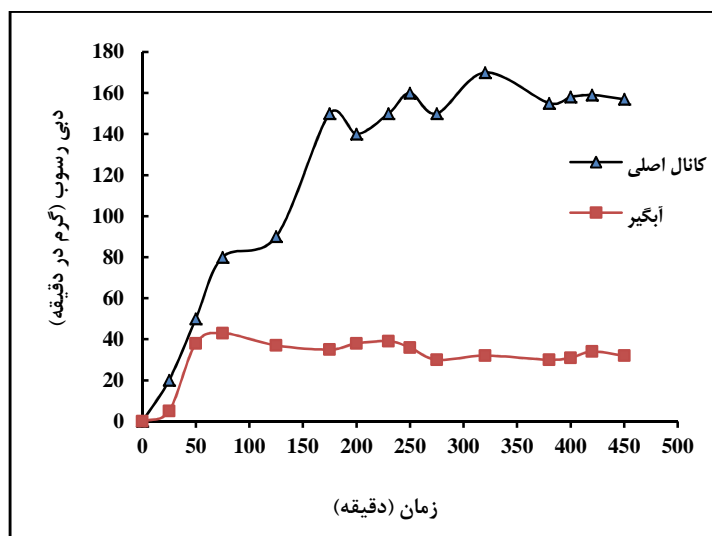
یکسان باشد. در هر آزمایش، این کار با نمونه‌برداری در هر دو مسیر در فاصله‌های زمانی مختلف انجام گردید. به منظور تعیین زمان تعادل، از رسوبات کanal اصلی و آبگیر در طول زمان نمونه‌برداری شد. از رسوبات ورودی به کanal اصلی و آبگیر با استفاده از سبد توری نمونه‌گیری شد. برای جلوگیری از اختلال در عملکرد سیستم گردش رسوب، در زمان برداشت نمونه رسوب، به همان میزان رسوب خشک به سیستم اضافه شد. نمودارهای زمان تعادل برای یک آزمایش در شکل ۴ آورده شده است. بیشترین زمان برای رسیدن به تعادل ۷ ساعت بود که برای کلیه آزمایش‌ها در نظر گرفته شد. جهت کنترل حرکت رسوبات به صورت بار بستر در محدوده دبی انتخابی، از دیاگرام شیلدز استفاده شد. با تغییرات

در آزمایش‌های این تحقیق از روشی موسوم به سیستم چرخشی رسوب استفاده شد. هر دو قسمت کanal اصلی و آبگیر، دارای سیستم چرخشی رسوب هستند که در آن قسمتی از جریان و کل رسوب خروجی از آبگیر و کanal اصلی با پمپ رسوب کش به ابتدای کanal اصلی برمی‌گردد. جریان آب و رسوب ورودی به ابتدای کanal اصلی در عرض ابتدای کanal اصلی تزریق شد. شکل ۱ شمای کلی تجهیزات سیستم چرخش رسوب را در کanal اصلی و آبگیر نشان می‌دهد.

بعد از به تعادل رسیدن جریان آب و رسوب اندازه‌گیری‌ها و ثبت داده‌ها دنبال شد. زمان تعادل در این آزمایش‌ها زمانی است که مقدار رسوب بستر وارد شده به ابتدای کanal اصلی از آبگیر و انتهای کanal اصلی تقریباً

شیلدز ( $\theta$ ) و پارامتر رینولوز مرزی ( $R_{e*}$ ) محاسبه شد. بر اساس نمودار شیلدز، پارامتر شیلدز محاسباتی برای دبی فوق، بزرگتر از پارامتر شیلدز بحرانی است ( $\theta > \theta_{cr}$ ) و نقطه محل تقاطع دو پارامتر در بالای نمودار شیلدز قرار می‌گیرد. لذا حرکت رسوبات بستر برای این دبی و دبی بیشتر از آن وجود دارد. از این‌رو دبی‌های ۴۰، ۵۰ و ۶۰ لیتر بر ثانیه انتخاب شد.

دبی، مشاهده شد که حرکت عمومی ذرات بستر در دبی ۲۵ لیتر بر ثانیه اتفاق می‌افتد. دبی جریان با توجه به شرایط آزمایشگاهی در کمترین مقدار برابر ۲۵ لیتر بر ثانیه، شب بستر متحرک برابر ۰/۰۰۲، عمق جریان برابر ۴/۶ سانتی‌متر، شعاع هیدرولیکی ۰/۰۴۵۲، سرعت برشی ۰/۰۲۹۸، عدد رینولوز مرزی ۲۵/۴۸ و پارامتر شیلدز ۰/۰۵۴۸ محاسبه شد. برای دبی ۲۵ لیتر بر ثانیه پارامتر



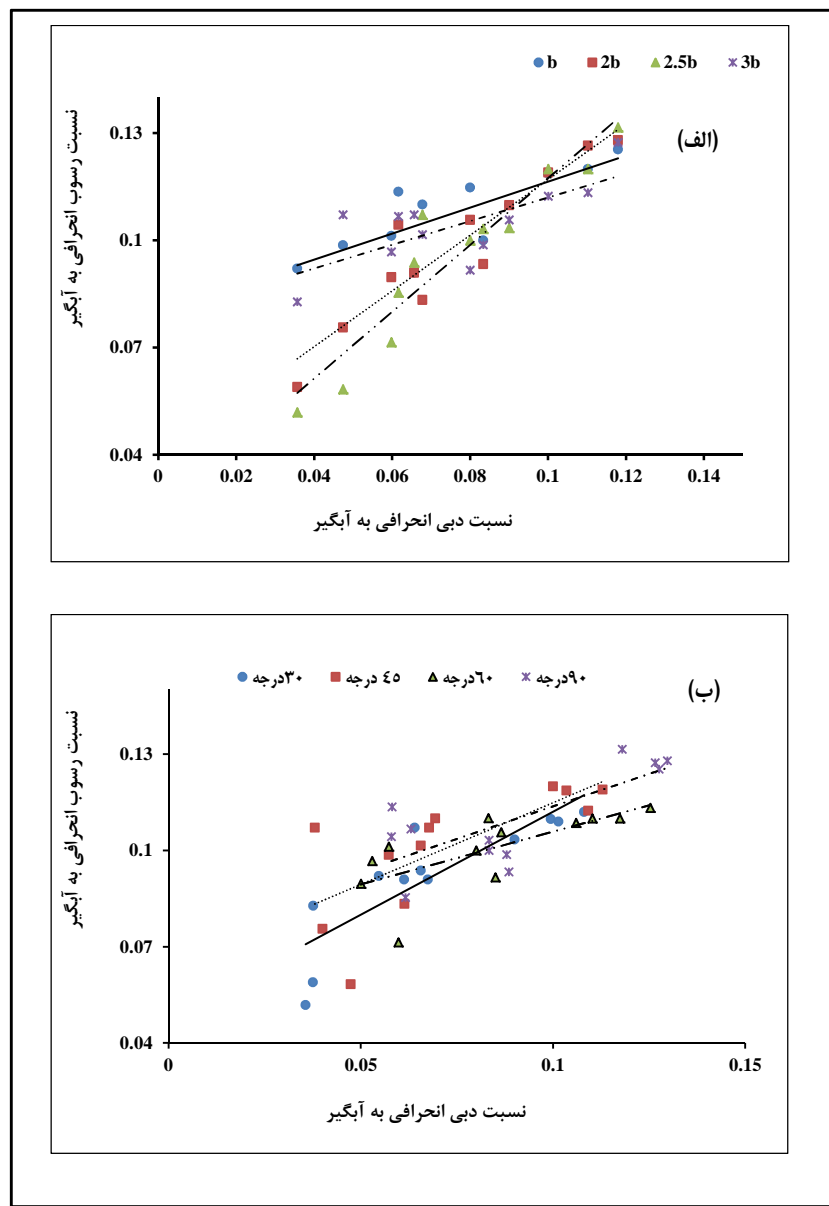
شکل ۴- تغییرات دبی رسوب با زمان در کanal اصلی و آbgir

#### فاصله ۲b و ۲/۵b تقریباً ۱۵۷/۸ درصد افزایش نشان

نمودار ب در شکل ۵، افزایش نسبت رسوب ورودی به آbgir با افزایش نسبت دبی انحرافی را در ۴ زاویه آبشکن نشان می‌دهد. با افزایش نسبت دبی انحرافی به آbgir به میزان ۱۴۰ درصد، نسبت رسوب انحرافی به آbgir در زاویه‌های ۳۰ و ۴۵ درجه ۶۰ درصد و در زاویه‌های ۶۰ و ۹۰ درجه ۳۰/۷ درصد افزایش یافته است. با توجه به نتایج به‌دست آمده، زاویه‌های ۶۰ و ۹۰ در مقایسه با زاویه‌های دیگر رسوب کمتری به آbgir منتقل می‌کنند.

#### نتایج و بحث

تغییرات نسبت رسوب انحرافی نسبت به دبی انحرافی به آbgir با بررسی نمودار الف در شکل ۵، مشاهده می‌شود که با تغییر فاصله آبشکن از مرکز آbgir به سمت بالادست، در تمام حالات، با افزایش نسبت آbgir میزان رسوب انحرافی نیز افزایش می‌یابد. شب نمودارهای مربوط به فاصله ۲b و ۳b کمتر از شب نمودارهای مربوط به فاصله‌های ۲b و ۲/۵b است. با افزایش نسبت دبی انحرافی به آbgir به میزان آbgir ۲۲۵ درصدی، نسبت رسوب انحرافی به آbgir در فاصله ۲b و ۳b تقریباً ۳۶/۳ درصد و در



شکل ۵- نسبت رسوب انحرافی به آبگیر بر حسب نسبت دبی آبگیری

اثر تغییرات فاصله و زاویه آبشکن بر نسبت آبگیری و رسوب انحرافی به آبگیر با توجه به نمودارها، آبشکن با زاویه  $60^\circ$  درجه نسبت به آبشکن با زاویه‌های دیگر کمترین مقدار رسوب را به آبگیر منتقل می‌کند. برای  $\frac{\bar{u}}{u_c} = 1/11$  و آبشکن در فاصله  $2b$ ، زاویه  $60^\circ$  درجه  $27$  درصد نسبت به زاویه  $30^\circ$  درجه،  $14$  درصد نسبت به زاویه  $45^\circ$  درجه و  $12$  درصد نسبت به زاویه  $90^\circ$  درجه رسوب کمتری به آبگیر منحرف می‌کند. با افزایش فاصله آبشکن از آبگیر روند انحراف نسبت رسوب انحرافی به داخل آبگیر تا فاصله  $2b$  کاهشی و از

رسوب انحرافی به آبگیر

شکل ۶ رابطه بین پارامتر بدون بعد نسبت فاصله آبشکن به عرض آبگیر ( $b/L$ ) و نسبت رسوب و دبی ورودی به آبگیر را نشان می‌دهد. این نمودارها نسبت سرعت متوسط ( $\bar{u}$ )، به سرعت معادل آستانه حرکت ( $u_c$ )، به ترتیب الف، مربوط به  $\frac{\bar{u}}{u_c} = 1/0.5$ ، نمودار ب، مربوط به  $\frac{\bar{u}}{u_c} = 1/0.8$  و نمودار ج، مربوط به  $\frac{\bar{u}}{u_c} = 1/11$  است.

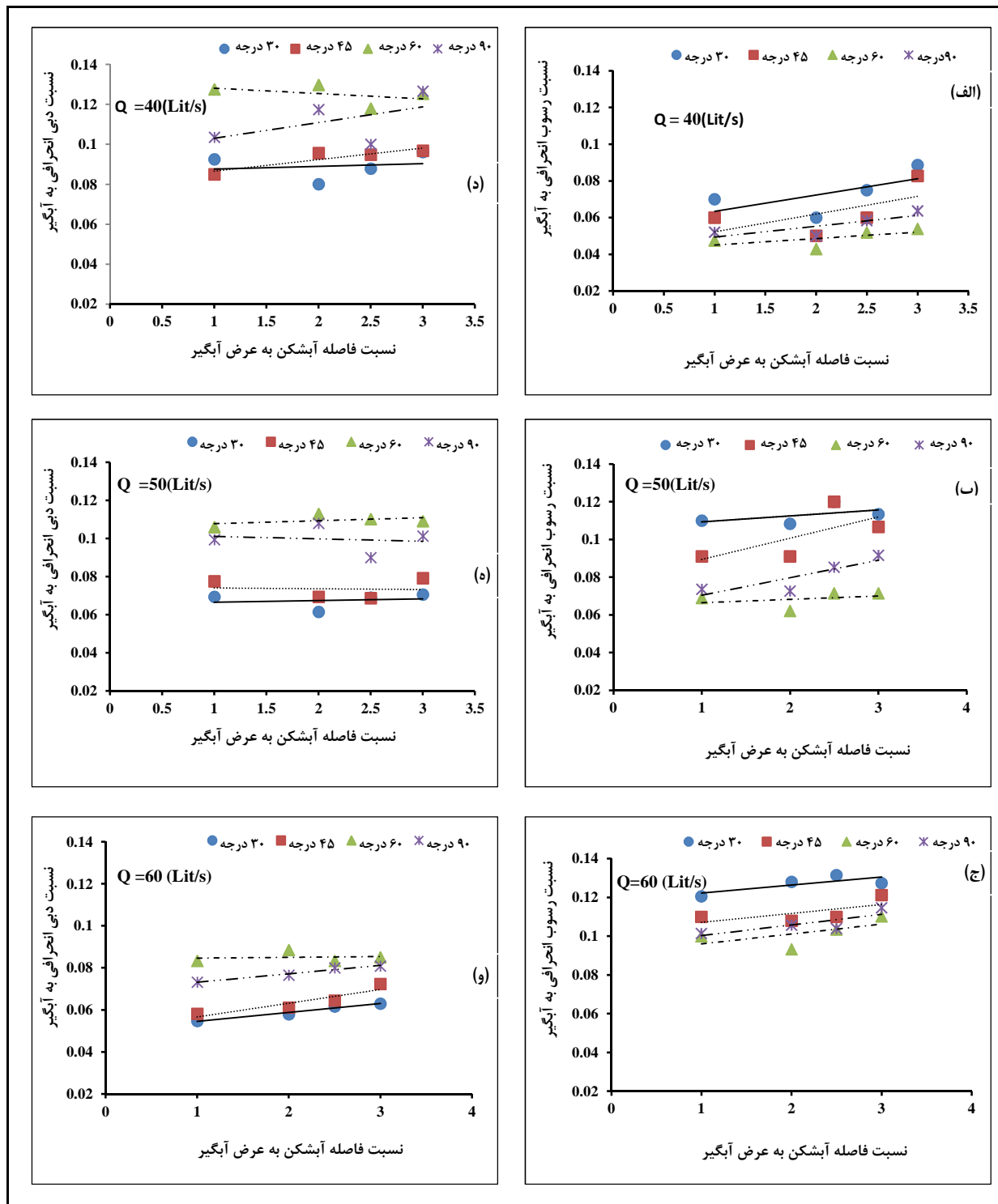
بررسی اثر موقعیت آبشکن و دیوار جداگانه...

زاویه‌های و موقعیت‌های دیگر راندمان آبگیری بیشتر و کنترل رسوب بهتری دارد. در هر سه نسبت  $\frac{\bar{u}}{u_c}$ ، دیده می‌شود که با افزایش فاصله آبشکن از آبگیر به سمت بالادست مقدار ورود رسوبات به سمت آبگیر کاهش پیدا کرده است. این امر به دلیل کاهش اغتشاش در مقابل آبگیر و افزایش سرعت طولی و همچنین کاهش سرعت عرضی جریان بوده است. در آبشکن با زاویه ۶۰ درجه ورود رسوبات به آبگیر حداقل است. با افزایش زاویه آبشکن از ۳۰ به ۹۰ درجه، نسبت رسوب انحرافی به آبگیر برای فاصله‌های ۳b، ۲b، ۲/۵b، b و  $\frac{\bar{u}}{u_c} = 1/0.5$  به ترتیب  $\frac{\bar{u}}{u_c} = 1/0.8$  به ترتیب ۲۶، ۲۷، ۲۳ و ۲۸ درصد،  $\frac{\bar{u}}{u_c} = 1/1.1$  به ترتیب ۲۱، ۲۹، ۳۳ و ۱۷ درصد و  $\frac{\bar{u}}{u_c} = 1/1.1$  به ترتیب ۹، ۱۸، ۲۹ و ۲۰ درصد کاهش می‌یابد.

نمودارهای د، ۵ و و در شکل ۸ به ترتیب مربوط به  $\frac{\bar{u}}{u_c}$ ،  $1/0.5$ ،  $1/0.8$  و  $1/1.1$  هستند. این نمودارها اثر تغییرات زاویه آبشکن و نسبت دبی انحرافی به آبگیر را نشان می‌دهند. با توجه به شکل بیشترین مقدار نسبت دبی انحرافی به داخل آبگیر مربوط به آبشکن با زاویه ۶۰ درجه است. برای فاصله‌های ۳b، ۲b، ۲/۵b و زاویه ۶۰ درجه،  $\frac{\bar{u}}{u_c} = 1/0.5$  به ترتیب ۵، ۱۳، ۲ و ۲۳ درصد،  $\frac{\bar{u}}{u_c} = 1/0.8$  به ترتیب ۲، ۳، ۳ و ۲ درصد و  $\frac{\bar{u}}{u_c} = 1/1.1$  به ترتیب ۱۷، ۲۴ و ۱۰ درصد افزایش یافته است.

این فاصله به بعد افزایشی است. با افزایش نسبت فاصله آبشکن به عرض آبگیر، نسبت رسوب انحرافی به آبگیر برای زاویه‌های ۳۰، ۴۵، ۶۰ و ۹۰ درجه و  $\frac{\bar{u}}{u_c} = 1/0.5$  به ترتیب ۲۷، ۳۸، ۱۳ و ۲۲ درصد،  $\frac{\bar{u}}{u_c} = 1/0.8$  به ترتیب ۱۷، ۱۲، ۴ و ۲۵ درصد و  $\frac{\bar{u}}{u_c} = 1/1.1$  به ترتیب ۱۰، ۱۰ و ۱۳ درصد افزایش می‌یابد. نمودارهای د، ۵ و و در شکل مربوط به  $\frac{\bar{u}}{u_c}$  به ترتیب  $1/0.55$ ،  $1/0.8$  و  $1/1.1$  است. با توجه به شکل، بیشترین مقدار نسبت دبی انحرافی به داخل آبگیر مربوط به آبشکن با زاویه ۶۰ درجه است. برای  $\frac{\bar{u}}{u_c} = 1/0.5$  و آبشکن در فاصله ۲b و زاویه ۶۰ درجه،  $\frac{\bar{u}}{u_c} = 1/0.5$  درصد نسبت به زاویه ۳۰ درجه، ۴۵ درصد نسبت به زاویه ۴۵ درجه و ۱۶ درصد نسبت به زاویه ۹۰ درجه دبی بیشتری را به آبگیر منحرف می‌کند. با افزایش نسبت فاصله آبشکن به عرض آبگیر، نسبت دبی انحرافی به آبگیر برای زاویه‌های ۳۰، ۴۵، ۶۰ و ۹۰ درجه و  $\frac{\bar{u}}{u_c} = 1/0.5$  به ترتیب ۵، ۱۳، ۲ و ۲۳ درصد،  $\frac{\bar{u}}{u_c} = 1/0.8$  به ترتیب ۲، ۳، ۳ و ۲ درصد و  $\frac{\bar{u}}{u_c} = 1/1.1$  به ترتیب ۱۷، ۲۴ و ۱۰ درصد افزایش می‌یابد.

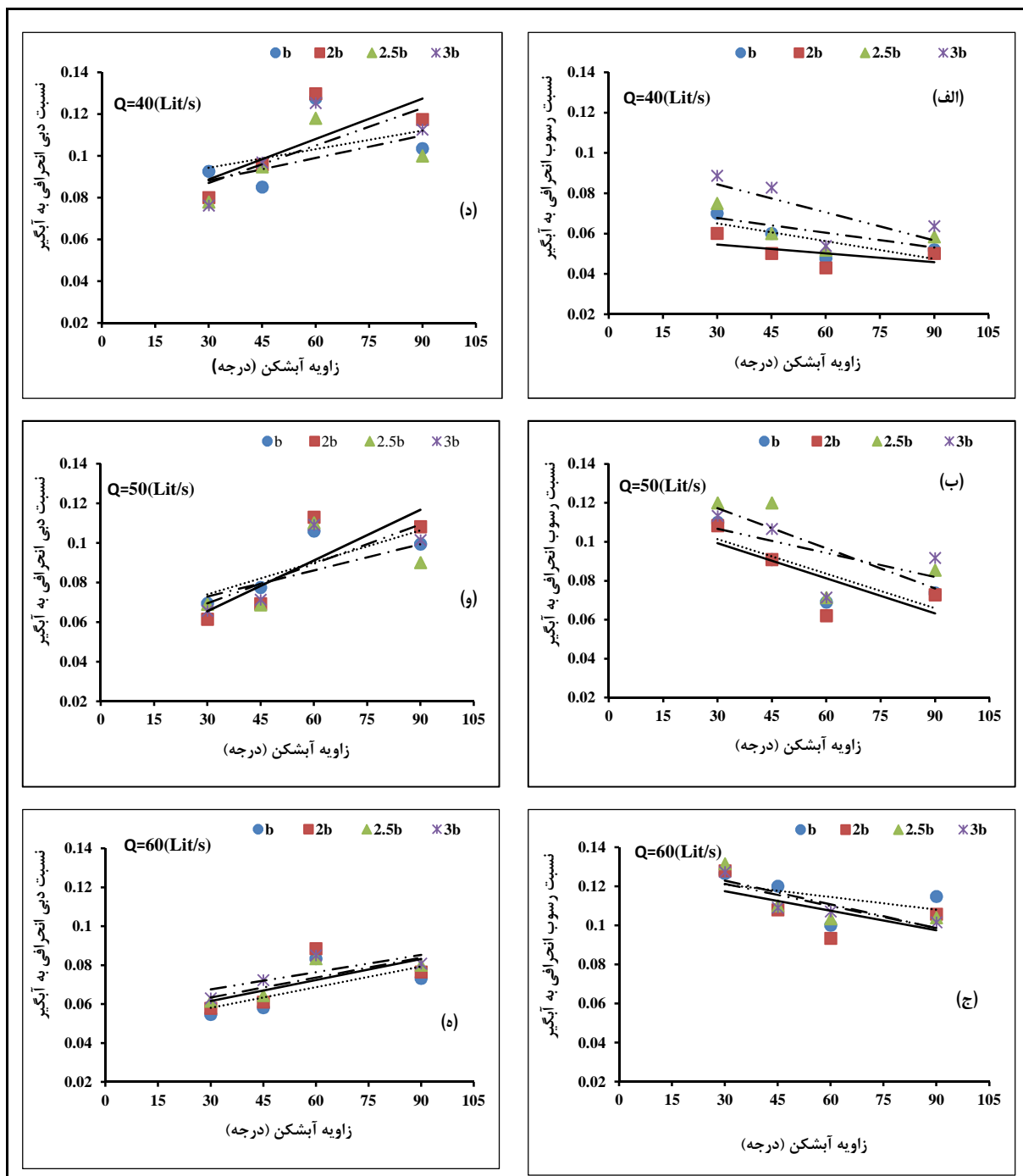
نمودارهای الف، ب و ج در شکل ۷ به ترتیب مربوط به  $\frac{\bar{u}}{u_c}$ ،  $1/0.5$ ،  $1/0.8$  و  $1/1.1$  هستند. در این نمودارها روند تغییرات نسبت رسوب انحرافی به آبگیر در اثر تغییرات زاویه آبشکن برای  $\frac{\bar{u}}{u_c}$  و فاصله‌های مختلف آبشکن نشان داده شده است. از نمودارها مشاهده می‌شود که آبشکن با زاویه ۶۰ درجه و فاصله ۲b از مرکز آبگیر نسبت به



شکل ۶- رابطه بین پارامتر بدون بعد نسبت فاصله آبشکن به عرض آبگیر ( $L/b$ )

(الف)، (ب) و (ج) نسبت رسوب و (د)، (ه) و (و) دبی ورودی به آبگیر

بررسی اثر موقعیت آشکن و دیوار جداگانه...



شکل ۷- رابطه بین زاویه آشکن  
الف، ب) و ج) نسبت رسوب و د) و و) نسبت دبی ورودی به آبگیر

شد. آشکن با ۴۰ زاویه و ۴۰ موقعیت بررسی گردید نتایج

به دست آمده از این تحقیق به شرح زیر است:

آشکن با زاویه ۶۰ درجه نسبت به آشکن با زاویه های دیگر کمترین مقدار رسوب را به آبگیر منتقل می کند.

## نتیجه گیری

در این تحقیق به بررسی تأثیر فاصله آشکن از خط مرکزی آبگیر و زاویه آن در ترکیب با دیوار جداگانه بر راندمان آبگیری و کنترل رسوب در آبگیر جانبی پرداخته

افزایش می‌یابد. بیشترین مقدار نسبت دبی انحرافی به داخل آبگیر مربوط به آبشکن با زاویه ۶۰ درجه است. برای  $\frac{\bar{u}}{u_c} = 1/11$  و آبشکن در فاصله ۲b، زاویه ۶۰ درجه، درصد نسبت به زاویه ۳۰ درجه، ۱۴ درصد نسبت به زاویه ۴۵ درجه و ۱۲ درصد نسبت به زاویه ۹۰ درجه رسوب کمتری به آبگیر منحرف می‌کند. با افزایش فاصله آبشکن از آبگیر، روند انحراف نسبت رسوب انحرافی به داخل آبگیر تا فاصله ۲b کاهشی و از این فاصله به بعد افزایشی است. با افزایش نسبت فاصله آبشکن به عرض آبگیر، نسبت رسوب انحرافی به آبگیر برای زاویه‌های ۴۵، ۳۰، ۲۳ و ۲ درصد،  $\frac{\bar{u}}{u_c} = 1/0.8$  به ترتیب ۲، ۳ و ۲ درصد و  $\frac{\bar{u}}{u_c} = 1/11$  به ترتیب ۱۷، ۲۴ و ۱۰ درصد افزایش می‌یابد.

برای  $\frac{\bar{u}}{u_c} = 1/11$  و آبشکن در فاصله ۲b، زاویه ۶۰ درجه، ۲۷ درصد نسبت به زاویه ۳۰ درجه، ۱۴ درصد نسبت به زاویه ۴۵ درجه و ۱۲ درصد نسبت به زاویه ۹۰ درجه رسوب کمتری به آبگیر منحرف می‌کند. با افزایش فاصله آبشکن از آبگیر، روند انحراف نسبت رسوب انحرافی به داخل آبگیر تا فاصله ۲b کاهشی و از این فاصله به بعد افزایشی است. با افزایش نسبت فاصله آبشکن به عرض آبگیر، نسبت رسوب انحرافی به آبگیر برای زاویه‌های ۴۵، ۳۰، ۲۷ و ۹۰ درجه و  $\frac{\bar{u}}{u_c} = 1/0.5$  به ترتیب ۳۸، ۲۷، ۱۲ و ۱۷ درصد،  $\frac{\bar{u}}{u_c} = 1/0.8$  به ترتیب ۴، ۱۲ و ۲۴ درصد و  $\frac{\bar{u}}{u_c} = 1/11$  به ترتیب ۱۰، ۱۳ و ۲۵ درصد

## مراجع

- Abbasi, A. and Maleknejad-Yazdi, M. 2003. The impact of sill and submerged vanes on sediment laden flow at lateral intake. *J. Irrig. Water Manage.* 16, 106-17. (in Persian)
- Ardeshiri, M., Sanei, M. and Rezaei, Z. 2014. Experimental study effect of length and distance on permeable and non-submerged spur dike on the intake discharge changes with the angle of 90°. Proceeding of the 9<sup>th</sup> International Seminar of River Engineering. Ahvaz. Iran. (in Persian)
- Atarzadeh, A., Ayyoubzadeh, S. A., Ghodsian, M. and Salehi-Neishabouri, A. 2014. Experimental study of the effect of sill, spur dike and submerged vanes on sediment control and bed topography at lateral intakes. *Modares Civil Eng. J. (M. C. E. J.)*. 14(2): 27-38. (in Persian)
- Barkdoll, B. D., Ettema, R. and Odgaard, J. 1999. Sediment control at lateral diversion: limits and enhancements to vane use. *J. Hydraul. Eng.* 125(8): 862-870.
- Ghohari, S., Ayyoubzadeh, S. A., Ghodsian, M. and Salehi-Neishabouri, A. 2009. The impact of spur dike and submerged vanes on sediment control at lateral intake. *J. Water Soil Conserv.* 16(2): 35-59. (in Persian)
- Jafari-Mianaei, S. and Ayyoubzadeh, S. A. 2014. Experimental investigation of the effect of inclined main channel wall on the amount of delivered sediment into the lateral intake with/without submerged vanes. *Iranian J. Irrig. Drain.* 4(7): 521-534.
- Nakato, T., Kennedy, J. F. and Bauerly, D. 1990. Pump-station intake-shoaling control with submerged vanes. *J. Hydraul. Eng-ASCE*. 116(1): 119 - 128.
- Neary, V. S., Sotiropoulos, F. and Odgaard, A. J. 1999. Three-dimensional numerical model of lateral-intake inflows. *J. Hydraul. Eng-ASCE*. 25(2): 126-140.
- Odgaard, J. and Wang, Y. 1991. Sediment management with submerged vanes, ii: applications. *J. Hydraul. Eng-ASCE*. 117(3): 284-302.

بررسی اثر موقعیت آبشکن و دیوار جداکننده...

- Ramamurthy, A. S., Junying, Q. and Diep, V. 2007. Numerical and experimental study of dividing open-channel flows. *J. Hydraul. Eng-ASCE*. 133(10): 1135-1144.
- Sajedi-Sabegh, M. and Habibi, M. 2003. Laboratory investigation of using submerged vane and dikes on efficiency of intakes. Proceeding of the 4<sup>th</sup> Hydraulic Conference. Shiraz University. Shiraz. Iran. (in Persian)
- Salemmia, A. and Shafeai-Bajestan, M. 2011. Investigation on the effect of submerged vanes on the amount of sediment entrance of trapezoidal channel into the lateral intake by changing the discharge diversion ratio. Proceeding of the 10<sup>th</sup> Iranian Hydraulic Conference. University of Guilan. Rasht. Iran. (in Persian)

## Experimental Study of the Effect of Spur Dike Location and Skimming Wall on Diversion of Flow and Sediment at Lateral Intake

A. Moradinejad, A. H. Haghabi\*, M. Saneie and H. Yonesi

\* Corresponding Author: Associate Professor, Water Engineering Department, Faculty of Agriculture, Lorestan University, Lorestan, Iran. Email: haghabi.a@lu.ac.ir

Received: 24 April 2016, Accepted: 10 November 2016

A major problem with which most of the lateral intakes, is accumulation and sediments entering the intake entrance and as a result diversion efficiency is reduced. Sediment control is one of the most important issues in river engineering. To reduce sediment entering the intake entrance several methods of controlling the sediment entering to the intake entrance and the exit of sediments from sediment out let is used. In this study effect of the location, and angle of the spur dike by using skimming wall on the amount of delivered sediment into the lateral intake and intake ratio were tested. Effects of angle variations (30, 45, 60, 90) of spur dike and spur dike location (b, 2b, 2.5b, 3b) on intake ratio and delivered sediment into the intake were investigated (b is the intake width). Results showed that discharge of 60 lit/s, and spur dike with 60 degree angle and 2b distance from the center intake entrance in combination with the skimming wall compared to an angle of 30, 45 and 90 degrees, respectively caused 27, 14 and 12 percent less sediment and 53, 45 and 16 percent superior discharge into the intake diversions. Also by increasing the value of parameter of the ratio of distance of spur dike, to the width of intake, the ratio of flow deviation to the intake for angle of 30°, 45°, 60° and 90°, and  $\frac{\bar{u}}{u_c} = 1.05$  was 5, 13, 2 and 23% respectively, and for ratio of  $\frac{\bar{u}}{u_c} = 1.08$  was 2, 3, 3 and 2% respectively, and for  $\frac{\bar{u}}{u_c} = 1.11$  was 17, 24, 2 and 10 percent increase respectively.

**Key words:** Intake, Intake Ratio, Sediment Control, Spur Dike